

# ΟΙ ΠΥΡΙΤΙΚΟΙ ΕΚΚΡΙΜΑΤΙΚΟΙ ΣΧΗΜΑΤΙΣΜΟΙ ΑΝΤΡΩΝΙΟΥ ΗΛΕΙΑΣ

ΥΠΟ

Α. ΠΑΝΑΓΟΥ καὶ Γ. ΡΗ \*

*Abstract.* Cretaceous strata at Antroni consist of shales and cherts, fine grained limestones and calcarenites and breccia of turbidite origin. All the calcareous rocks contain abundant chert concretions of a variety of sizes and shapes (spherical, radial, discoidal and bedded). The concretions are composed of variable amounts of quartz, mainly of chalcedonic form, and calcite.

The chert concretions are believed to be the products of replacement and produced by the following mechanism :

- Dissolution of biogenic  $\text{SiO}_2$  and production of opal.
- Transport and deposition of the silicic material by pore water and precipitation of cristobalite nuclei.
- Inversion of cristobalite to quartz.

## 1. ΕΙΣΑΓΩΓΗ

Εἰς τὴν περιοχὴν Ἀντρωνίου Ἡλείας, περὶ τὰ 10 χιλ. δυτικῶς τῆς Ὄλυμπίας (εἰκ. 1), ἐνετοπίσθησαν ἐντὸς τῶν ἀνθρακικῶν ἵζημάτων τῆς ζώνης Ὁλονοῦ - Πίνδου χαρακτηριστικοὶ ἐκκριματικοὶ σχηματισμοί, πυριτικῆς συστάσεως καὶ ποικίλοντος μεγέθους καὶ σχήματος.

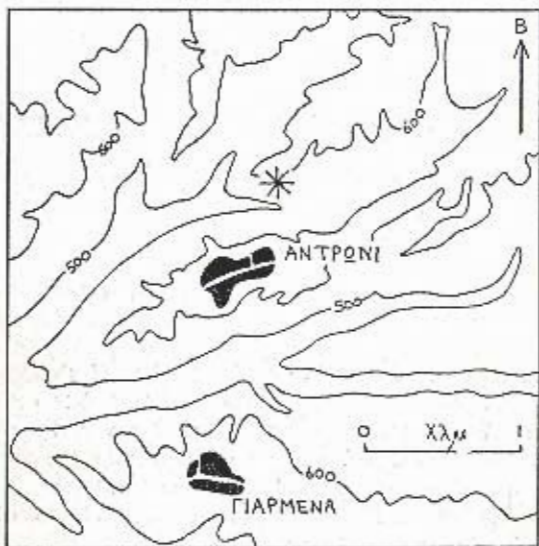
Ἡ παροῦσα μελέτη ἀποσκοπεῖ κυρίως εἰς τὴν διερεύνησιν τοῦ τρόπου σχηματισμοῦ τῶν ὡς ἄνω πυριτικῶν ἐκκριμάτων.

## 2. ΠΕΤΡΟΓΡΑΦΙΑ ΤΗΣ ΠΕΡΙΟΧΗΣ

Ἡ μελετηθεῖσα περιοχὴ συγκροτεῖται ἀπὸ τὰ ἔξης πετρώματα :

- Σχιστοκερατόλιθοι
- Λεπτόκοκκοι ἀσβεστόλιθοι
- Καλκαρενῖται καὶ κροκαλοπαγῆ τουρμπιντιτικῆς προελεύσεως.

\* A. PANAGOS and G. PE, **Chert concretions at Antroni (Peloponnese).**  
'Ανεκοινώθη κατὰ τὴν Ἐπιστημονικὴν συνεδρίαν τῆς 27ης Νοεμβρίου 1976.



Εικ. 1. Χάρτης περιοχής 'Αντρωνίου. 'Ο αστερίσκος δεικνύει την θέσην δειγματοληψίας.



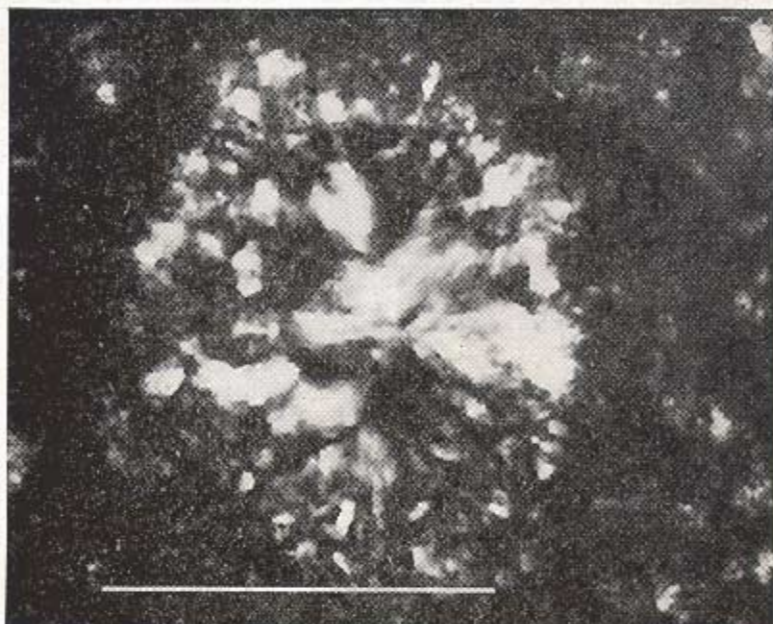
Εικ. 2. "Αποφις τοῦ τουρμπιντιτικοῦ καλκαρενίτου 'Αντρωνίου, έπικειμένου τοῦ σχιστοκερατολίθου (Σχκ) τῆς περιοχῆς.

## 2.1. Σχιστοκερατόλιθοι.

Είς τὴν μελετηθεῖσαν περιοχὴν οἱ σχιστοκερατόλιθοι ἀναπτύσσονται εἰς περιωρισμένην ἔκτασιν καὶ ἐντοπίζονται κυρίως εἰς τὴν βάσιν τοῦ τουρμπιντικοῦ καλκαρενίτου (εἰκ. 2).

Ἡ πετρογραφικὴ μελέτη, ἵδια ἴστολογική, ἀπέδειξε τὴν διάκρισιν δύο τύπων κερατολίθων :

α) Κερατόλιθος συμπαγῆς, συγκείμενος δρυκτολογικῶς, κυρίως ἀπὸ χαλαζίαν χαρακτηριστικῆς ἀκτινωτῆς ὑφῆς. Ὡς γνωστόν, ἡ ἀκτινωτὴ αὐτὴ μορφὴ  $\text{SiO}_2$



Εἰκ. 3. Ἀκτινωτὴ ὑφὴ χαλκηδονικοῦ χαλαζίου. Nicols  $\perp$ . Ἡ γραμμὴ τῆς πλίμακος = 100 μικρά.

μαρτυρεῖ «μετάπτωσιν κριστοβαλίτου πρὸς χαλαζίαν». Ὁ χαλαζίας τοιαύτης μορφῆς εἶναι γνωστὸς ὡς «χαλκηδονικὸς χαλαζίας» (chalcedonic quartz). (Εἰκ. 3).

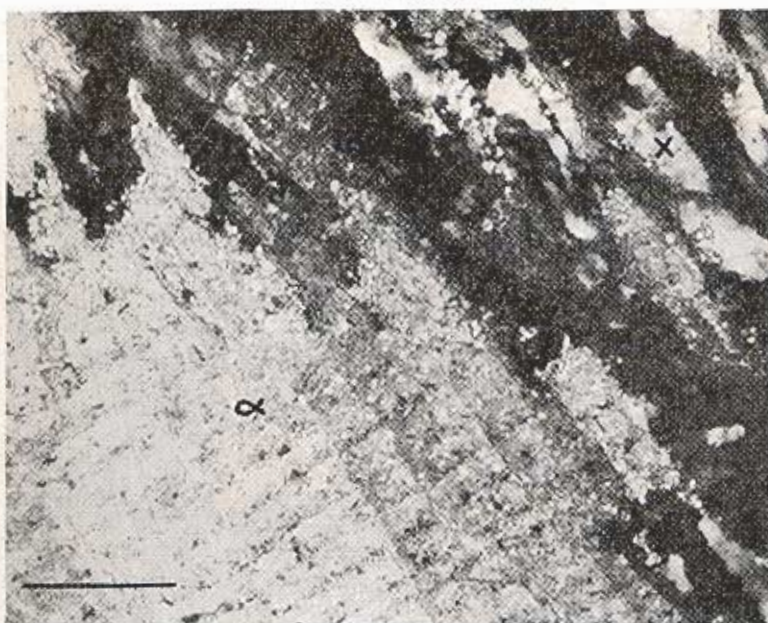
β) Κερατόλιθος διλιγώτερον συμπαγῆς, πορώδης ἢ ως χαλαρός, μὲ σημαντικὰς ἀναλογίας εἰς δᾶσείδια τοῦ σιδήρου. Ἐμπεριέχει ἀσβεστίτην δστις προφανῶς ἀντικαθίσταται ἀπὸ τὸν χαλαζίαν (εἰκ. 4).

## 2.2. Δεπτόκοκκοι ἀσβεστόλιθοι.

Οἱ ἀσβεστόλιθοι οὗτοι ἀναπτύσσονται εἰς τὴν ἐν θέματι περιοχὴν εἰς σημαντικὴν ἔκτασιν καὶ ἀποτελοῦν τὸ κυριαρχοῦν πέτρωμα.

Κατὰ κανόνα είναι λευκοί έως τεφροί, λεπτόκοκκοι τὴν υφὴν καὶ συνιστοῦν «πελαγικὴν ἀνθρακικὴν φάσιν». Ἡ συνύπαρξις τῶν μὲ ἀδρομερεῖς τουρμπιντιτικοὺς ἀσβεστολίθους δὲν ἀποκλείει τὴν περίπτωσιν τουρμπιντιτικῆς προελεύσεως μέρους τούτων.

Τὸ ἐπιχρατοῦν δρυκτολογικὸν συστατικὸν τῶν είναι ὁ ἀσβεστίτης ὃστις είναι



Εἰκ. 4. Ἀσβεστίτης ἀντικαθιστάμενος ἀπὸ χαλαζία Nicols L.

Ἡ γραμμὴ τῆς κλίμακος = 100 μικρά.

α : ἀσβεστίτης, x : χαλαζίας.

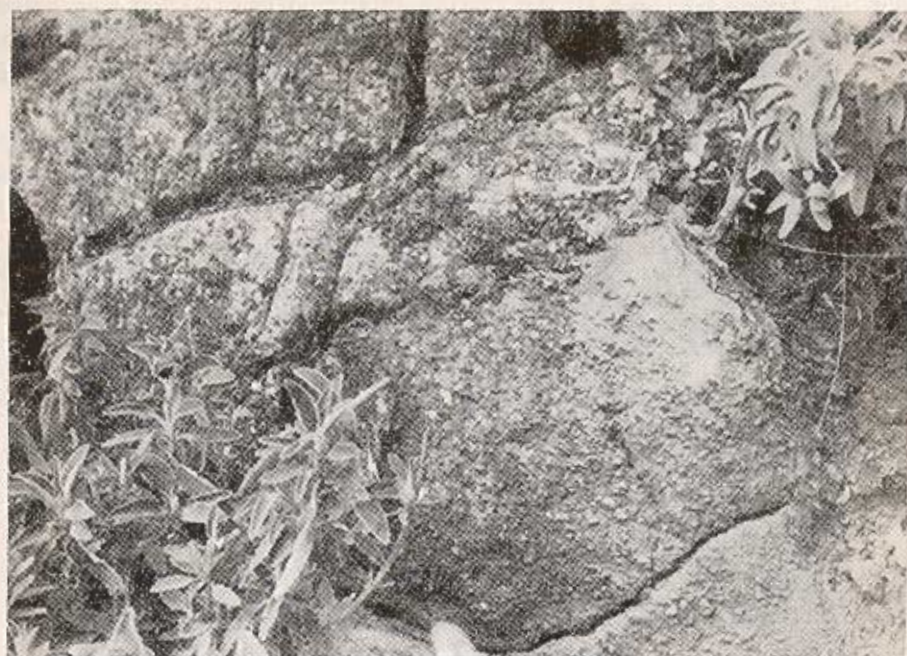
κυρίως πρωτογενής ἄλλὰ προέρχεται ἐν μέρει καὶ ἐξ ἀνακρυσταλλώσεως, ἀπὸ ἀραγονίτην. Ὁ ἀσβεστίτης εἰς τίνας θέσεις ἀντικαθίσταται διοσχερῶς ἀπὸ χαλαζίαν

### 2.3. Τουρμπιντιτικοὶ καλκαρενῖται - χροκαλοπαγῆ

Οἱ ὡς ἄνω σχηματισμοὶ διακρίνονται εὐχερῶς ίδιᾳ ἀπὸ τὸ ἀδρομερέστερον θλικὸν τῆς βάσεως τῶν (εἰκ. 5).

Ἡ ὑπὸ τὸ μικροσκόπιον παρατήρησις ἀπέδειξεν τὴν παρουσίαν ἐντὸς αὐτῶν ἀπολιθωμάτων (φύκη, κοράλλια, μαλάκια, κοπρόλιθοι κλπ.) (εἰκ. 6α, 6β καὶ 6γ).

Πάντα τὰ ὡς ἄνω ἀπολιθώματα παρουσιάζουν μικρὸν ἢ μεγαλύτερον βαθμὸν πυριτιώσεως τῶν. Ἐξ ὅλων τούτων, τὰ φύκη ἐμφανίζουν συνήμως τὸν μεγαλύτερον βαθμὸν πυριτιώσεως καὶ τοῦτο ὀφείλεται, προφανῶς, εἰς τὴν ἵνωδη καὶ λεπτὴν



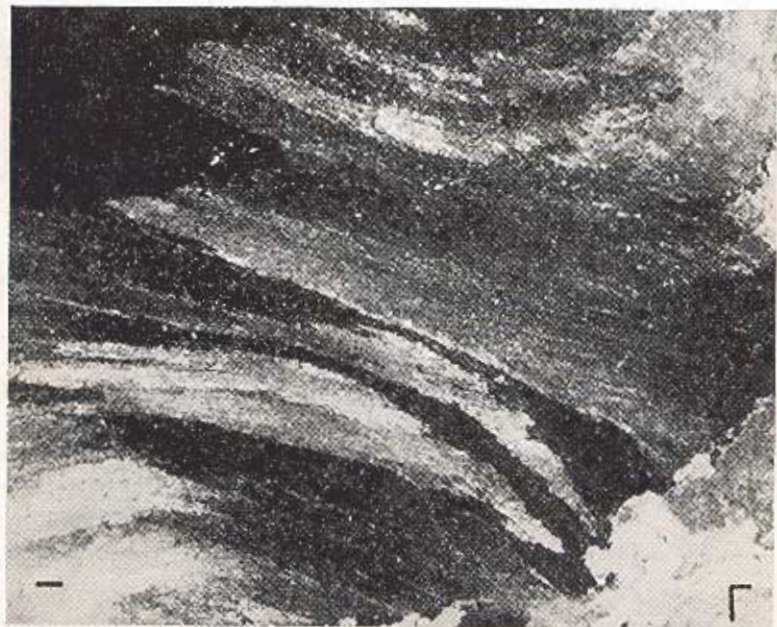
Εἰκ. 5. Τὸ ἀδρομερὲς θραυσματογενὲς ὑλικόν τοῦ καλκαρενίου Ἀντρωνίου.



Εἰκ. 6α. Τεμάχιον κοραλλίου (ἄνω δεξιά). Nicols //.



Εικ. 6β. Ανω δεξιά: φύκη. Άριστερά: κοπρόλιθοι (Nicol's //).



Εικ. 6γ. Καλκαρενίτης φέρων φύκη. Χαρακτηριστική ή ινώδης έφη του. Nicols ⊥.

συγκρότησίν των (εἰς τὴν ἰδιόδυνθμον δομήν των). Ἡ παρουσία φυκῶν καὶ κοραλλίων ἀποδεικνύει ὅτι τὸ ὑλικὸν σχηματισμοῦ τῶν ὡς ἄνω στρωμάτων συνεσωρεύθη κατ' ἀρχὴν εἰς ἀβαθῆ θάλασσαν.

Ἡ προσεκτικὴ παρατήρησις τοῦ ὡς ἄνω σχηματισμοῦ ἀποδεικνύει τὴν ταξιθετημένην στρῶσιν τοῦ ὑλικοῦ του (graded bedding). Ἀπὸ τὰ ἀρχικὰ χαρακτηριστικὰ τῆς στρώσεως του ὡς μόνον εὐδιάκριτον στοιχεῖον παραμένει ὁ ἡμιπαράλ-



Εἰκ. 7. Τὸ ἀνώτερον μέρος τοῦ τουρμπιντιτικοῦ καλκαρενίτου Ἀντρωνίου. Διακρίνεται εὐχερῶς ἡ χαρακτηριστικὴ τοξοειδής ὑφὴ (convolute lamination, bogige Struktur) τοῦ τουρμπιντίτου.

ληλος προσανατολισμὸς ὡς πρὸς τὸ ἐπίπεδον στρώσεως, τῶν κλαστικῶν τεμαχῶν (clasts) καὶ ἡ χαρακτηριστικὴ τοξοειδής ὑφὴ τοῦ λεπτομερεστέρου ὑλικοῦ του (εἰκ. 7).

Τὰ ἀδρομερῆ συστατικὰ διακρίνονται εὐχερῶς, διὰ γυμνοῦ δρυθαλμοῦ, καὶ ἔχουν κυρίως χρῶμα φαιόν. Τὰ λεπτομερέστερα συστατικὰ (λεπτόκοκκον μέρος τοῦ καλκαρενίτου) μὲ μέσον μέγεθος κόκκων περὶ τὰ 30 μικρά, εἶναι ἔγχροα μέχρι καὶ ἐρυθρά, γεγονός τὸ ὅποιον σημαίνει ηὑξημένην ἀναλογίαν συμμετοχῆς κερατοιδικοῦ ὑλικοῦ.

### 3. ΤΑ ΠΥΡΙΤΙΚΑ ΕΚΚΡΙΜΑΤΑ

Ταῦτα ἐνετοπίσθησαν κυρίως ἐντὸς τῶν καλκαρενιτῶν - κροκαλοπαγῶν ἀλλὰ καὶ ἐντὸς τῶν λεπτοκόκκων ἀσβεστολίθων τῆς περιοχῆς.

Ἄποτελοῦνται ἀπὸ πλήρως πυριτιωθεῖσα κύρια μᾶζα καὶ ἀπὸ κατὰ τὸ μᾶλλον ἦ ήττον πυριτιωμένα κλαστικὰ τεμάχη.

Εἰς ἄπαντα σχεδὸν τὰ παρασκευάσματα ἀνευρέθη ἀσβεστίτης μὲ ποικίλον ποσοστὸν συμμετοχῆς.

Ο χαλαζίας ἐντοπίζεται σχεδὸν πάντοτε μὲ τὴν χαρακτηριστικὴν ἵνωδη - ἀκτινωτὴν ὑφήν του (χαλκηδονικὸς χαλαζίας) (εἰκ. 8).



Εἰκ. 8. Χαλκηδονικὸς χαλαζίας, εἰς πυριτικὸν ἔκκριμα. Nicols L.

\*Η γραμμὴ κλίμακος = 100 μικρά.

Ἡ ἀκτινογραφικὴ μελέτη τῶν πυριτικῶν ἔκκριμάτων ἀπέδειξεν ὅτι ἡ κυρίᾳ δρυκτολογικῇ φάσις εἶναι ὁ χαλαζίας (πίν. 1).

Ο ἀσβεστίτης δὲν συμμετέχει οὐσιωδῶς καὶ ἐντοπίζεται μὲ ἐλάχιστον καὶ κατὰ κανόνα ποικίλον ποσοστὸν συμμετοχῆς.

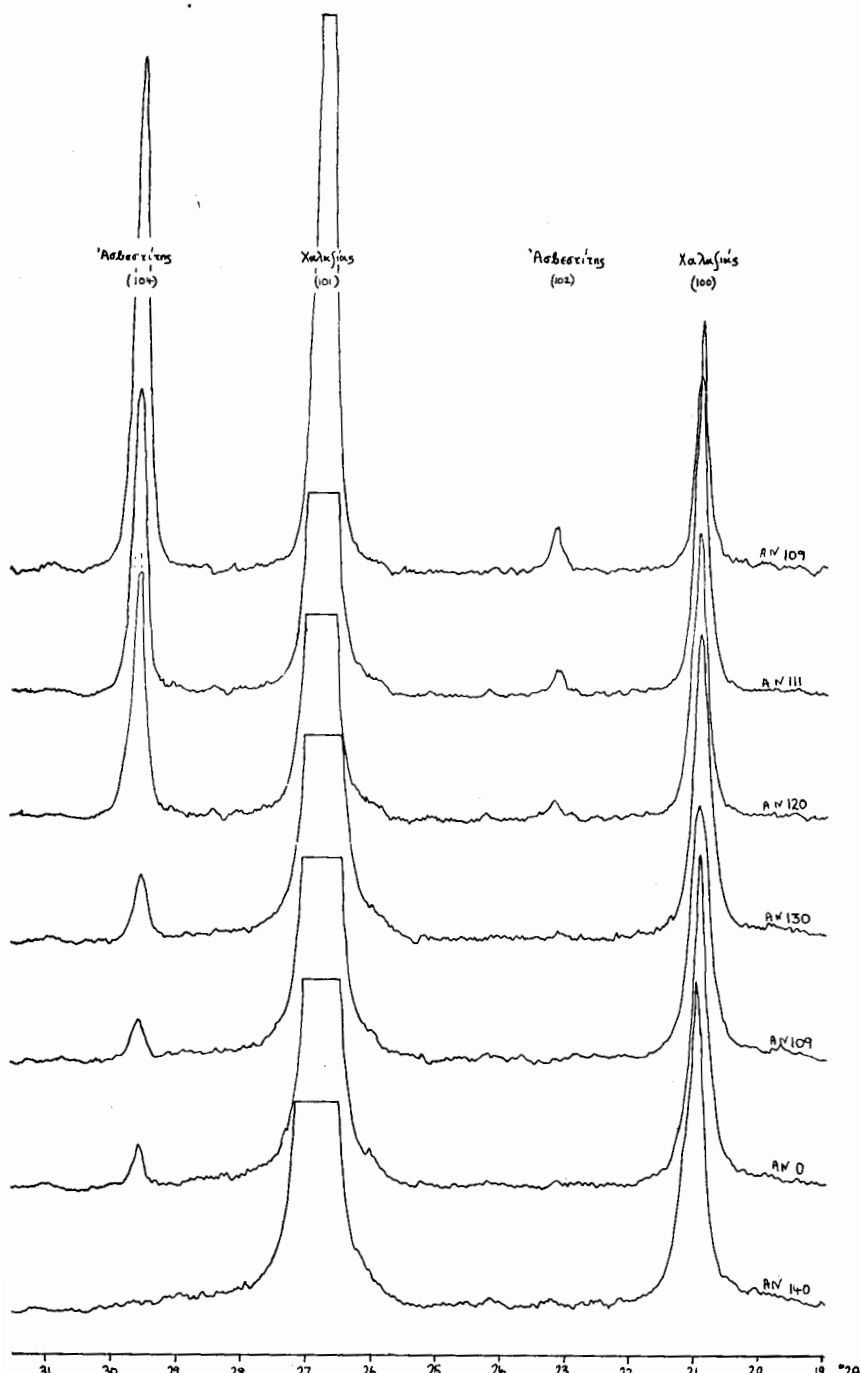
Ο τριδυμίτης δὲν ἐνετοπίσθη σαφῶς, δὲν ἀποκλείεται ὅμως ἡ συμμετοχὴ του, εἰς μικρὰ ποσοστά εἰς τὰ ἐν λόγῳ ἔκκριματα.

Ο κριστοβαλίτης δὲν ἐνετοπίσθη οὔτε ὅμως καὶ ἀνεμένετο, κυρίως λόγῳ τῆς ἡλικίας τῶν σχηματισμῶν (χρητιδική). Πάντως ἡ ἵνωδης ἀκτινωτὴ ὑφὴ του χαλαζίου (χαλκηδονικὸς) μαρτυρεῖ τὴν ἐκ τοῦ κριστοβαλίτου ἀνάπτυξιν του χαλαζίου. Ἡ τοιαύτη μετατροπὴ του κριστοβαλίτου εἰς χαλαζίαν ἔξαρτᾶται καὶ ἐπηρεάζεται ἀπὸ τὴν θερμοκρασίαν, τὸν χρόνον καὶ τοὺς τοπικοὺς γεωχημικοὺς παράγοντας.

Απὸ ἀπόψεως μορφολογίας οἱ πυριτικοὶ ἔκκριματικοὶ σχηματισμοὶ τῆς περιοχῆς Ἀντρωνίου εἶναι κυρίως σφαιρικοὶ ἔως δισκοειδεῖς (εἰκ. 10 καὶ 11).

Ἄλλοτε πάλιν, ἐμφανίζουν φακοειδῆ ἢ ἀκτινοειδῆ ἀνάπτυξιν τοῦ πυριτικοῦ ἥλικοῦ των (εἰκ. 12 καὶ 13).

Τὰ φακοειδῆ πυριτικὰ ἔκκριματα ἀναπτύσσονται κυρίως κατὰ τὴν στρῶσιν του ἥλικοῦ του μητρικοῦ πετρώματος.



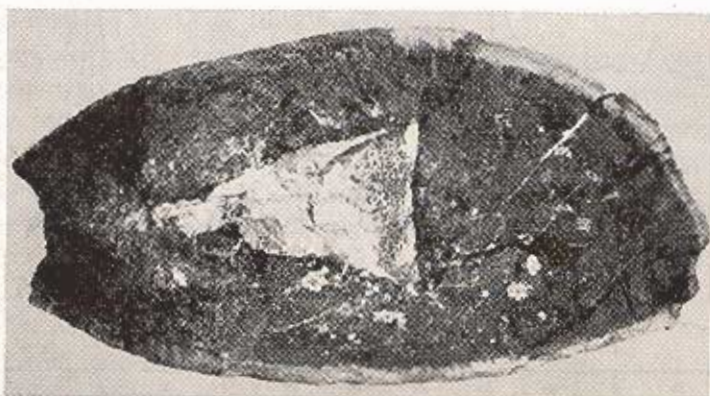
Πίν. 1. Ακτινογραφική άναλυσις διὰ περιθαασιμέτρου άκτινων Χ (Diffrafkrometer) δειγμάτων πυριτικῶν ἐκκριμάτων.



α

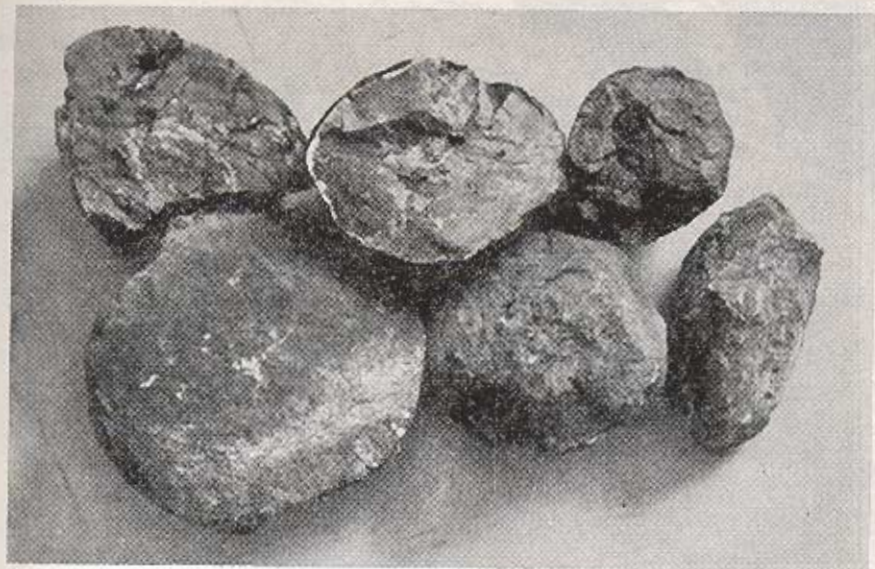


β



γ

Εικ. 9α, β, γ. Οι πυρήνες τῶν σφαιρικῶν ἔκκριματικῶν σχηματισμῶν Ἀντρωνίου.



Εικ. 10. Σφαιροειδή πυριτικά έκκριματα ἐκ τῆς περιοχῆς Ἀντρωνίου.



Εικ. 11. Σφαιροειδές πυριτικόν έκκριμα ἐντὸς τοῦ τουρμπινιτίτον Ἀντρωνίου  
(διάμετρος περὶ τὰ 25 ἑκ.).



Εικ. 12. Φακοειδές πυριτικόν έκκριμα έντός του τουφηπιντίτου 'Αντρωνίου (μήκος περί τὰ 40 έκ.).



Εικ. 13. 'Αντινωτὸν πυριτικόν έκκριμα, έντός του τουφηπιντίτου 'Αντρωνίου (διάμετρος περὶ τὰ 20 έκ.).

Τέλος, σπανιότερον, οἱ ἐκκριματικοὶ σχηματισμοὶ εἰναι στρωσιγενεῖς, ἀποσφηνούμενοι συχνάκις κατὰ τὰ ἄκρα τῶν (εἰκ. 14). Εἰς τὴν περίπτωσιν ταύτην ἀναπτύσσονται κατὰ τὴν στρῶσιν τοῦ ὑλικοῦ τοῦ μητρικοῦ πετρώματος, αἱ διαστάσεις τῶν ποικίλουν καὶ ἐνίστε εἰναι σημαντικά.

Χαρακτηριστικὴ εἰναι ἡ παρουσία σφαιρικῶν ἐκκριματικῶν σχηματισμῶν



Εἰκ. 14. Στρωσιγενῆς ἀνάπτυξις τῶν πυριτικῶν ἐκκριματικῶν σχηματισμῶν τῆς περιοχῆς Ἀντρωνίου.

μετὰ πυρῆνος περὶ τὸ κέντρον αὐτῶν καὶ συστήματα ρωγμῶν. Κοιλότης καὶ ρωγμαὶ ἔχουν πληρωθῆ δι' ἀσβεστικοῦ ὑλικοῦ συνήθως ἐντόνως κυαγοῦ χρώματος καὶ καλῶς κρυσταλλωμένου (εἰκ. 9α, β, γ).

#### 4. ΙΖΗΜΑΤΟΓΕΝΕΣΙΣ ΚΑΙ ΤΡΟΠΟΣ ΣΧΗΜΑΤΙΣΜΟΥ ΤΩΝ ΠΥΡΙΤΙΚΩΝ ΕΚΚΡΙΜΑΤΙΚΩΝ ΣΧΗΜΑΤΙΣΜΩΝ ΑΝΤΡΩΝΙΟΥ

Ἡ παρουσία ἐκκριμάτων ἐντὸς ἵζηματογετῶν πετρωμάτων (π. χ. ψαμμιτῶν, ἀσβεστολίθων, σχιστολίθων κλπ.) δὲν ἀποτελεῖ ἀσήνηθες φαινόμενον καὶ ἔχει παρατηρηθῆ καὶ περιγράφεται ὑπὸ πλείστων ἐρευνητῶν. Τὰ ἐκκρίματα ταῦτα ἀναπτύσσονται ἐντὸς τῆς μάζης τῶν στρωμάτων τῶν ἵζημάτων καὶ ἔχουν ποικίλλουσαν μορφὴν καὶ διαστάσεις. Χαρακτηριστικῶς, ἀναφέρεται διτὶ περιγράφονται τοιοῦτοι τρόποι σχηματισμοῦ π. χ. εἰς τὰ κρητιδικά ἵζηματα τοῦ Kansas ὅπου ἡ διάμετρος τῶν σφαιρικῶν ἐκκριμάτων προσεγγίζει τὰ 5 μέτρα (Pettijohn, 1957).

\*Επίσης οἱ Schlager καὶ Schlager (1973), περιγράφουν ἐμφάνισιν ἀναλόγου ἔκεινης τοῦ Ἀντρωνίου (συνύπαρξις κερατολίθων καὶ ἀσβεστολιθικῶν τουρμπινιτῶν) εἰς τὰς ἀσβεστολιθικὰς ἐμφανίσεις τῶν B. \*Ἀλπεων, ὅπου ὅμως τὰ πυριτικὰ ἐκκρίματα ἔχουν περιωρισμένην ἀνάπτυξιν.

Τὰ ἐκκρίματα ταῦτα ἀποτελοῦν τὸ ἀποτέλεσμα πολυπλόκων διεργασιῶν κυρίως δὲ μετασωματώσεως ἢ διαλύσεως καὶ ἐπανακαθιζήσεως ὑλικοῦ. Σήμερον γίνεται παραδεκτὸν ὅτι αἱ ὡς ἄνω διεργασίαι λαμβάνουν χώραν μετὰ τὴν ἀπόθεσιν τῶν ἵζημάτων ἐντὸς τῶν ὅποιων ἐντοπίζονται (Pettijohn, 1957), χωρὶς τοῦτο νὰ ἀποκλείει καὶ συγγενεικὴν περίπτωσιν (Tarr, 1921 - Trefethen, 1947) ἀναπτύξεως.

Κατὰ τὴν ἡμετέραν ἀποψιν, εἰς τὴν περιοχὴν Ἀντρωνίου ἀρχικῶς χωροῦσε πυριτικὴ ἵζηματογένεσις (συνεχὴς ἀπόθεσις κερατολιθικοῦ ὑλικοῦ). \*Ἡ ἀπόθεσις τοῦ κερατολιθικοῦ ὑλικοῦ ἐλάμβανε χώραν, προφανῶς ὑπὸ μօρφὴν κερατολιθικῆς ἥλυος (*radiolarian ooze*) ἀπὸ τὸν ὅποιον προηλθεν ὁ σημερινὸς ἐρυθρὸς κερατόλιθος τῆς βάσεως τοῦ τουρμπινιτικοῦ ἀναπτύγματος Ἀντρωνίου.

Τὴν ἵζηματογένεσιν ταύτην διέκοπτε ἡ ἐπεισοδιακὴ ἀπόθεσις τουρμπινιτῶν. Τὴν τοιαύτην δραστηριότητα μαρτυρεῖ ἡ παρουσία τοῦ τουρμπινιτικοῦ σχηματισμοῦ ἐντὸς τῶν κερατολίθων οἱ ὅποιοι ὡς γνωστόν, ἀντιπροσωπεύουν ἵζηματογενῆ φάσιν βαθέων θαλασσῶν.

\*Ἐν συνεχείᾳ ἡ ἵζηματογένεσις τῆς περιοχῆς μεταπίπτει εἰς ἀνθρακικὴν ἵζηματογένεσιν βαθέων θαλασσῶν. Τοῦτο μαρτυροῦν οἱ πελαγικὸι ἀσβεστολιθοὶ τῆς περιοχῆς, ἐν πολλοῖς πυριτιώμενοι.

\*Ο σχηματισμὸς τῶν πυριτικῶν ἐκκριμάτων εἰς περιοχὴν Ἀντρωνίου πρέπει νὰ ἀκολουθησε τ' ἀκόλουθα στάδια :

- Διάλυσις τοῦ πυριτικοῦ ὑλικοῦ (βιογενὲς  $\text{SiO}_2$ ) καὶ σχηματισμὸς ἐνύδρου γέλης (βιογενῆς δπάλιος).
- Μεταφορὰ καὶ ἀπόθεσις τοῦ πυριτικοῦ ὑλικοῦ διὰ τοῦ ὕδατος πόρων καὶ σχηματισμὸς τοῦ πυριτικοῦ ἐκκρίματος (κριστοβαλίτης).
- Μετατροπὴ τοῦ κριστοβαλίτου (συναρτήσει τοῦ χρόνου) πρὸς χαλαζίαν.

\*Ο χημισμὸς τῶν ἐν θέματι σχηματισμῶν ἀπασχολεῖ ἀκόμη τοὺς ἔρευνητάς. Οὕτω, οἱ Heath καὶ Moberly (1971) ἀσχολοῦνται καὶ ἀποδίδουν ἰδιαιτέραν σημασίαν εἰς τὸ εἶδος τοῦ πολυμόρφου τοῦ  $\text{SiO}_2$  τὸ ὅποιον ἐντοπίζεται ὡς συστατικὸν τῶν ἐκκριματικῶν σχηματισμῶν.

Παρ’ ἡμῖν, ὡς ἀνεφέρθη, τὸ κύριον δρυκτολογικὸν συστατικὸν εἶναι ὁ χαλαζίας ὁ ὅποιος πρέπει νὰ προηλθεν ἀπὸ τὴν μετατροπὴν ἐκ τοῦ ἀρχικῶς σχηματισθέντος κριστοβαλίτου.

\*Η παρουσία τοῦ χαλαζίου, εἰς τοιούτους σχηματισμοὺς εἶναι δυνατὸν ν<sup>3</sup> ἀποτελῆ ἔνδειξιν ὑπάρξεως παλαιοῦ περιβάλλοντος ἵζηματογένεσεως καὶ συγκεκριμένως προκαινούχης ἥλικίας. \*Ως γνωστόν, τὰ ἐκκρίματα ταῦτα εἶναι δυνατὸν νὰ ἀποτελέσουν δείκτην ἀναγνωρίσεως παλαιοῦ περιβάλλοντος ἵζηματογένεσεως (Kukal 1971).

Η χημική σύστασις τῶν ἐκκριμάτων ἔξαρταί καὶ ἐπηρεάζεται ἀπὸ τὸ περιβάλλον ἵζηματογενέσεως καὶ τὰ γειτονικὰ πετρώματα. Συνήθως τὰ ἐκκρίματα παρουσιάζουν χημικὴν σύστασιν ἀνάλογον ἐκείνης τῶν δευτερευόντων χημικῶν συστατικῶν, τοῦ μητρικοῦ πετρώματος. Παρ’ ἡμῖν εἰς Ἀντρώνιον τὸ μητρικὸν πέτρωμα εἶναι κυρίως  $\text{CaCO}_3$  καὶ τὸ δευτερεῦον χημικὸν συστατικὸν  $\text{SiO}_2$ . Ἀναμένει λοιπόν τις, συμφώνως πρὸς τὸ ἀνωτέρω, ὅτι ταῦτα πρέπει νὰ ἔχουν  $\text{SiO}_2$ -σύστασιν, ὡς πράγματι συμβαίνει.

Τὰ ἐκκρίματα ταῦτα, πιστεύομεν ὅτι ἀποτελοῦν προϊόντα ἀντικαταστάσεως (οὐχὶ προσθήκης) καὶ δημιουργοῦνται μὲ τὴν διάλυσιν τοῦ βιογενοῦς  $\text{SiO}_2$  (πηγὴ τὰ διάφορα πυριτικὰ κελύφη ἐντὸς τῶν ἀσβεστολίθων καὶ ψαμμιτῶν), κυκλοφορίαν αὐτοῦ ὡς ὕδωρ πόρων, ἐπανακαθίζησιν καὶ ἀντικατάστασιν τῶν ἀρχικῶν, κλαστικῶν ἴδιᾳ τεμαχῶν τοῦ ἀσβεστολίθου, καλκαρενίτου καὶ κροκαλοπαγοῦς ὑπὸ  $\text{SiO}_2$ . Δὲν ἀποκλείομεν ὅμως τελείως καὶ πυριτίωσιν καθ’ ἥν πηγὴ τροφοδοτήσεως εἰς  $\text{SiO}_2$  νὰ εἶναι αὐτὴ ἡ κερατολιθικὴ ἵζηματογένεσις.

Ἡ πετρογραφικὴ καὶ ἴδια ἰστολογικὴ παρατήρησις συνηγοροῦν ὑπὲρ τοῦ ὡς ἄνω τρόπου γενέσεως τῶν ἐκκριματικῶν σχηματισμῶν. Πράγματι, α) τὰ ἐκκρίματα παρουσιάζουν, ὡς ἐπὶ τὸ πλεῖστον, ἰστὸν ὅμοιον ἐκείνου τοῦ μητρικοῦ πετρώματος, β) εἰς τὰς λεπτὰς τομὰς φαίνεται ὅτι ὁ ἰστὸς τοῦ ἐκκριμάτος ἀποτελεῖ συνέχειαν τοῦ ἰστοῦ τοῦ πετρώματος, γ) εἶναι προφανῆς ἡ ἀντικατάστασις τοῦ ἀσβεστίτου ὑπὸ τοῦ χαλαζίου, γεγονὸς τὸ δόποιον σημαίνει ὅτι τὸ  $\text{SiO}_2$  δὲν περιορίζεται εἰς τὴν πλήρωσιν τῶν πόρων (κενῶν) ἀλλὰ προχωρεῖ εἰς τὴν ἀντικατάστασιν τῶν ἀρχικῶν κρυστάλλων ἀσβεστίτου.

Ἡ τοιαύτη ἀντικατάστασις τοῦ ἀσβεστίτου ὑπὸ τοῦ χαλαζίου ποικίλει αἰσθητῶς, ὡς τοῦτο ἀλλωστε προκύπτει καὶ ἀπὸ τὴν ἀκτινογραφικὴν μελέτην τοῦ ὑλικοῦ. Εἰς ὀρισμένας περιπτώσεις ἡ ἀντικατάστασις τοῦ  $\text{CaCO}_3$  ὑπὸ  $\text{SiO}_2$  εἶναι πλήρης, ἀλλοτε πάλιν ἀντιθέτως περιῳρισμένη. Τοῦτο πρέπει νὰ ἀποδούθῃ εἰς τοπικὰς συνθήκας ὡς π.χ. εἶναι ἡ τοπικὴ συγκέντρωσις εἰς  $\text{SiO}_2$ , ἡ διαπερατότης τοῦ μητρικοῦ πετρώματος, τὸ pH, κλπ.

Ανεφέρθη ἡδη, ὅτι ἡ μορφὴ τῶν πυριτικῶν ἐκκριμάτων Ἀντρωνίου ποικίλλει (σφαιρικά, σφαιροειδῆ, φακοειδῆ, ἀκτινωτά, στρωσιγενῆ κλπ.).

Οταν ὁ σχηματισμός των συντελεῖται εἰς ὅμοιογενὲς περιβάλλον (π.χ. ψαμμιτικὸν ὑλικὸν ὅμοιογενὲς) τότε λαμβάνουν τὴν μορφὴν σφαίρας. Ἀντιθέτως, ὅταν τὸ περιβάλλον σχηματισμοῦ τῶν εἶναι ἀνομοιογενὲς τότε ταῦτα ἀναπτύσσονται κυρίως κατὰ τὴν στρῶσιν τοῦ ὑλικοῦ τοῦ μητρικοῦ πετρώματος (εὔκολωτέρα κίνησις ὕδατος πόρων) καὶ σχηματίζονται σφαιροειδῆς δίσκοι, φακοὶ ἢ στρώματα.

Αλλοτε πάλιν ὁ σχηματισμός των ἀκολουθεῖ τὴν διάταξιν ωγμῶν καὶ διαύλων διπότε τὰ σχήματα εἶναι ἀκτινωτὰ ἢ καὶ ἀκανόνιστα.

Ἡ ἀνάπτυξις τῶν ἐκκριματικῶν σχηματισμῶν ἀρχίζει πάντοτε ἀπὸ «πυρῆνα» σχηματισμοῦ τῶν. Οἱ πυρῆνες οὖτοι εἶναι δυνατὸν νὰ εἶναι κόκκος τις ἢ ὑπόλειμμα κελύφους τινος κλπ. τὰ δοπιᾶ διευκολύνονταν τὴν ἔναρξιν σχηματισμοῦ τοῦ ἐκκρίματος.

Αἱ θέσεις, ἐντὸς τοῦ μητρικοῦ πετρώματος αἱ ὅποιαι εὐνοοῦν τὸν σχηματισμὸν ἐκκριμάτων εἶναι κυρίως πόροι, ρωγμαί, δίαυλοι πάσης φύσεως, ἐπίπεδα στρώσεως τοῦ ὑλικοῦ τοῦ πετρώματος κλπ.

Ἐν κατακλεῖδι, τονίζεται ὅτι ἡ ἐν πολλοῖς ἐντυπωσιακὴ καὶ κυρίως Ἰδανικὴ ἀνάπτυξις τῶν πυριτικῶν ἐκκριματικῶν σχηματισμῶν τῆς περιοχῆς Ἀντρωνίου πρέπει νὰ ἀποδοθῇ κυρίως εἰς τὸ κλαστικὸν (θραυσματογενὲς) ὑλικὸν ἀναπτύξεώς των, τὸ ὅποιον εἶναι τοπικῶς ὁμοιογενὲς καὶ εὐνοεῖ Ἰδανικὴν ἀνάπτυξιν ἐκκριμάτων ὃς ἐπίσης καὶ εἰς τὴν καλὴν κυκλοφορίαν τῶν ὄντατίνων διαλυμάτων.

### B I B L I O G R A F I A

- HEATH, G. R. and MOBERLY, R. 1971.— Cherts from the Western Pacific, Leg. 7, Deep Sea Drilling Project. *Initial Reports of the Deep Sea Drilling Project*, 7, (E. L. Winterer et al.), 991 - 1007. U. S. Government Printing Office, Washington.
- KUKAL, Z. 1971.— Geology of recent sediments. Academia, Publishing House of the Czechoslovak Academy of Sciences, Prague.
- PETTICOJOHN, F. J. 1957.— Sedimentary rocks. Harper and Row, N. York.
- SCHLAGER, W. and SCHLAGER, M. 1973.— Clastic Sediments associated with radiolarites (Tauglboden-Schichten, Upper Jurassic, Eastern Alps). *Sedimentology*, 20, 65 - 89.
- TARR, W. A. 1921.— Syngenetic origin of concretions in shale. *Bull. Geol. Soc. Amer.*, 32, 373 - 384.
- TREFETHEN, J. M. 1947.— Some features of the cherts in the vicinity of Columbia, Missouri. *Am. J. Sci.*, 245, 56 - 58.